

การประชุมวิชาการเครือข่ายวิศวกรรมเครื่องกลแห่งประเทศไทยครั้งที่ 14
2-3 พฤษภาคม 2543 โรงแรม โนโวเทล เชียงใหม่

การแสดงภาพทางคอมพิวเตอร์ของการกระจายความเด่นที่คำนวณได้จาก ฟังก์ชันความเด่น

Computer Graphical Representation of Stress Distribution Calculated from Stress Function

ณัฐร์ กเศยปันนท์ และ วิวัฒน์ คล่องพานิช
ภาควิชาวิศวกรรมเครื่องกล คณะวิศวกรรมศาสตร์ มหาวิทยาลัยเชียงใหม่
เชียงใหม่ 50200

โทร 053-944144, โทรสาร 053-944145, E-Mail : nat_kasa@hotmail.com

Nat Kasayapanand and Wiwat Klongpanich

Department of Mechanical Engineering, Faculty of Engineering, Chiang Mai University

Chiang Mai 50200, Thailand

Tel : 6653-944144, Fax : 6653-944145

บทคัดย่อ

วัตถุประสงค์ของงานวิจัยนี้คือ การนำฟังก์ชันความเด่น ของแอร์มาหาค่าความเด่นและความเครียด และแสดงภาพ การกระจายความเด่นและการกระจายความเครียดที่เกิดขึ้น ในเนื้อวัสดุที่มีคุณสมบัติเหมือนกันทุกทางและเอกพันธ์ การรับแรงอยู่ในช่วงยึดหยุ่นเชิงเส้น โดยไม่คิดถึงผลของความเด่นเนื่องจากอุณหภูมิและแรงที่เกิดจากตัววัสดุ การวิเคราะห์จะพิจารณาปัญหาแบบสองมิติ ในระบบพิกัดคาร์ทีเซียนและระบบพิกัดเชิงข้าว โดยทำการเขียนโปรแกรมลงในโปรแกรม Mathematica 3.0 จากนั้นจึงทำการตรวจสอบความถูกต้องของโปรแกรมโดยการทดลองใช้โปรแกรมกับปัญหาที่มีค่าตอบซัดเจนถูกต้องและเป็นที่ยอมรับโดยทั่วไป ผลที่ได้พบว่า ค่าความเด่นมีค่าสอดคล้องกับค่าที่คำนวณได้ตามทฤษฎีของฟังก์ชันความเด่น ในการหาค่าความเด่นสูงสุดและต่ำสุดของฟังก์ชันความเด่นที่อยู่ในรูปอนุกรมฟูเรียร์พบว่า ค่าความผิดพลาดมีค่าไม่เกิน $\pm 0.1\%$ ในการนำโปรแกรมนี้ไปใช้งานจะต้องเลือกฟังก์ชันความเด่นที่สอดคล้องกับเงื่อนไขที่ข้อบข้อง

แต่ละปัญหา โดยสามารถตรวจสอบความถูกต้องกับความเด่นที่ขอบซึ่งได้มาจากการทำงานของโปรแกรมกับปัญหานั้น ๆ จากวิธีการดังกล่าวสามารถนำโปรแกรมนี้ไปประยุกต์ใช้เคราะห์ปัญหาที่มีความยุ่งยากซับซ้อนต่อไป

ABSTRACT

The objectives of this study are determining stress and strain in loaded materials by using Airy's stress function and displaying graphical distributions of stress and strain. The physical properties of the materials used in this analysis must be homogeneous and isotropic. The applied load is in elastic limit and neglecting body force and thermal stress. This research has been studied in two categories of two-dimensional problem on rectangular and polar coordinates, and written on Mathematica 3.0 program for windows. The written program had been carried out with the simple problems.

which have exactly results. It was found that the results from this program had good agreement with the theoretical values. The maximum and minimum stress values in Fourier series cases had error within $\pm 0.1\%$. For application of the program, user must choose stress function that satisfies boundary conditions. We can check accuracy of each problem by compare with the stresses at all boundaries that obtained from the program. From this method, we can use this program for analyses more complicated problems in the future applications.

1. บทนำ

ในการวิเคราะห์ปัญหาแบบสองมิติสำหรับวัสดุยืดหยุ่น เชิงเส้น (Linear Elasticity) แบบเอกพันธ์ (Homogeneous) และมีคุณสมบัติเหมือนกันทุกทาง (Isotropic) โดยไม่คำนึงถึงความเด่นเนื่องจากอุณหภูมิ (Thermal Stresses) โดยส่วนมากคำตอบได้มาจากการประมาณค่า (Approximate Solutions) แต่สำหรับปัญหาที่ค่อนข้างซับซ้อน การหาคำตอบที่แท้จริง (Exact Solutions) จะทำให้ทราบค่าที่ถูกต้องซึ่งช่วยลดค่าความปลอดภัย (Safety Factor) และค่าใช้จ่ายในการออกแบบวัสดุเพื่อการใช้งาน การหาคำตอบที่แท้จริงโดยการนำคอมพิวเตอร์เข้ามาช่วยในการทำงานจะช่วยเพิ่มความสะดวกรวดเร็วและความถูกต้องในการคำนวณ รวมทั้งสามารถแสดงผลในลักษณะของรูปภาพ (Graphics) ซึ่งทำให้เกิดความชัดเจน โดยผลที่ได้จากการวิจัยจะเป็นประโยชน์ต่อการพัฒนาเพื่อให้ครอบคลุมปัญหาได้มากขึ้น

การหาคำตอบที่แท้จริงพบว่า เมื่อมีภาระกระทำต่อวัสดุ ค่าความเด่น (Stress) ความเครียด (Strain) และการเปลี่ยนตำแหน่ง (Displacement) ที่เกิดขึ้นในเนื้อวัสดุนั้น จะต้องสอดคล้องกับสมการสมดุล (Equilibrium Equations) ความสัมพันธ์ระหว่างองค์ประกอบความเครียด (Strain Compatibility Relations) ความสัมพันธ์ระหว่างความเด่นและความเครียด (Stress-Strain Relations) และเงื่อนไขที่ขอบ (Boundary Conditions) พร้อม ๆ กัน วิธีหนึ่งที่ใช้วิเคราะห์ปัญหาดังกล่าวเริ่มต้นจากการหาค่าความเด่นในรูปของฟังก์ชันความเด่น (Stress Function) ซึ่งมีตัวคงที่ได้ ๆ ออยู่โดยที่ความเด่นที่

คำนวณได้จากฟังก์ชันความเด่นนี้จะต้องสอดคล้องกับสมการสมดุล ความสัมพันธ์ระหว่างองค์ประกอบความเครียด และความสัมพันธ์ระหว่างความเด่นและความเครียด แล้วทำการหาค่าคงที่ทั้งหมดในสมการฟังก์ชันความเด่นจากเงื่อนไขที่ขอบ จากนั้นจึงนำฟังก์ชันความเด่นไปวิเคราะห์ความเด่นและความเครียดที่เกิดขึ้นในเนื้อวัสดุต่อไป

2. ทฤษฎีที่เกี่ยวข้อง

2.1 ฟังก์ชันความเด่น

พิจารณาปัญหาแบบสองมิติพบว่า เมื่อค่าความเด่นความเครียด และการเปลี่ยนตำแหน่ง สอดคล้องกับสมการสมดุล ความสัมพันธ์ระหว่างองค์ประกอบความเครียด และความสัมพันธ์ระหว่างความเด่นและความเครียด โดยไม่คิดผลของแรงภายในตัววัสดุ (Body Force) สมการขององค์ประกอบความเด่นจะต้องอยู่ในรูปของฟังก์ชันความเด่นของแอร์ (Airy Stress Function) ตามสมการ [7]

$$\sigma_{xx} = \frac{\partial^2 \Phi}{\partial y^2}, \quad \sigma_{yy} = \frac{\partial^2 \Phi}{\partial x^2}, \quad \sigma_{xy} = -\frac{\partial^2 \Phi}{\partial x \partial y} \quad (1)$$

โดยที่ฟังก์ชันความเด่น Φ หาได้จากสมการไบอาโรมิค (Biharmonic) [7]

$$\left(\frac{\partial^2}{\partial x^2} + \frac{\partial^2}{\partial y^2} \right) \left(\frac{\partial^2 \Phi}{\partial x^2} + \frac{\partial^2 \Phi}{\partial y^2} \right) = 0 \quad (2)$$

2.2 การแก้ปัญหาสองมิติในระบบพิกัดคาร์ทีเซียน

2.2.1 คำตอบในรูปอนุกรมฟังก์ชันพหุนาม

คำฟังก์ชันความเด่นจะอยู่ในรูป [2]

$$\Phi = \sum_{m=0}^{\infty} \sum_{n=0}^{\infty} A_{mn} x^m y^n \quad (3)$$

โดย A_{mn} เป็นค่าคงที่และเมื่อกระจายเทอมของอนุกรมฟังก์ชันพหุนามระดับขั้น p เมื่อ $m+n = p$ กำหนดให้ $c_0, c_1, c_2, \dots, c_p$ หรือ c คือค่าคงที่ A_{mn} จากสมการ (3) จะได้

$$\Phi = c_0 x^p + c_1 x^{p-1} y + c_2 x^{p-2} y^2 + \dots + c_p y^p \quad (4)$$

สำหรับฟังก์ชันความเด่นในรูปของอนุกรมฟังก์ชันพหุนามระดับขั้น p เมื่อ $p \geq 4$ สมการไบาร์โอมนิกจะเป็นจริงก็ต่อเมื่อ c_4, c_5, \dots, c_p เป็นฟังก์ชันของ c_0, c_1, c_2 และ c_3 ตามความสัมพันธ์ต่อไปนี้

$$\frac{p!}{(p-4)!} c_0 + 2 \frac{2!(p-2)!}{0!(p-4)!} c_2 + \frac{4!}{0!} c_4 = 0$$

$$\frac{(p-1)!}{(p-5)!} c_1 + 2 \frac{3!(p-3)!}{1!(p-5)!} c_3 + \frac{5!}{1!} c_5 = 0$$

$$\dots$$

$$\frac{5!}{1!} c_{p-5} + 2 \frac{(p-3)! 3!}{(p-5)! 1!} c_{p-3} + \frac{(p-1)!}{(p-5)!} c_{p-1} = 0$$

$$\frac{4!}{0!} c_{p-4} + 2 \frac{(p-2)! 2!}{(p-4)! 0!} c_{p-2} + \frac{p!}{(p-4)!} c_p = 0 \quad (5)$$

ค่าคงที่ของสมการ (4) หาได้จากสมการ (5) และเงื่อนไขที่ขوب ค่าตอบในรูปของอนุกรมฟังก์ชันพหุนามเป็นการรวมกันของอนุกรมฟังก์ชันพหุนามระดับขั้น p ต่าง ๆ เมื่อ $p \geq 2$

2.2.2 ค่าตอบในรูปของอนุกรมฟูเรียร์

ค่าฟังก์ชันความเด่นจะอยู่ในรูป [2]

$$\Phi = e^{\alpha x} e^{\beta y} \quad (6)$$

หรือจะแสดงค่าตอบทั่วไปของฟังก์ชันความเด่นในรูปของฟังก์ชันตรีgonometric (Trigonometric Functions) โดยที่ α และ β เป็นจำนวนจริงที่ไม่เท่ากับศูนย์ดังนี้

$$\begin{aligned} \Phi = \sum_{n=1}^{\infty} & \left\{ (A_n \sin \beta_n y + B_n \cosh \beta_n y + \right. \\ & C_n \beta_n y \sin \beta_n y + D_n \beta_n y \cosh \beta_n y) \sin \beta_n x + \\ & (A'_n \sin \beta_n y + B'_n \cosh \beta_n y + \\ & \left. C'_n \beta_n y \sin \beta_n y + D'_n \beta_n y \cosh \beta_n y) \cos \beta_n x \right\} \quad (7) \end{aligned}$$

เมื่อ A, B, C, D และ A', B', C', D' เป็นค่าคงที่ซึ่งสามารถหาได้จากเงื่อนไขที่ขوب ค่าตอบในรูปของอนุกรมฟูเรียร์จะใช้ในกรณีที่มีภาวะความเด่นกระทำในลักษณะที่ไม่สม่ำเสมอหรือไม่ต่อเนื่อง

2.3 การแก้ปัญหาสองมิติในระบบพิกัดเชิงข้าว

ในการแก้ปัญหาสองมิติบางกรณีใช้ระบบพิกัดเชิงข้าวจะเหมาะสมกว่า ดังนั้นจึงต้องเปลี่ยนสมการต่าง ๆ จากระบบพิกัดคาร์ทีเซียนมาเป็นสมการในระบบพิกัดเชิงข้าวจากความสัมพันธ์ระหว่างพิกัดคาร์ทีเซียนกับพิกัดเชิงข้าว

$$r^2 = x^2 + y^2, \theta = \tan^{-1} \frac{y}{x} \quad (8)$$

องค์ประกอบความเด่นในเหตุของฟังก์ชันความเด่นคือ [7]

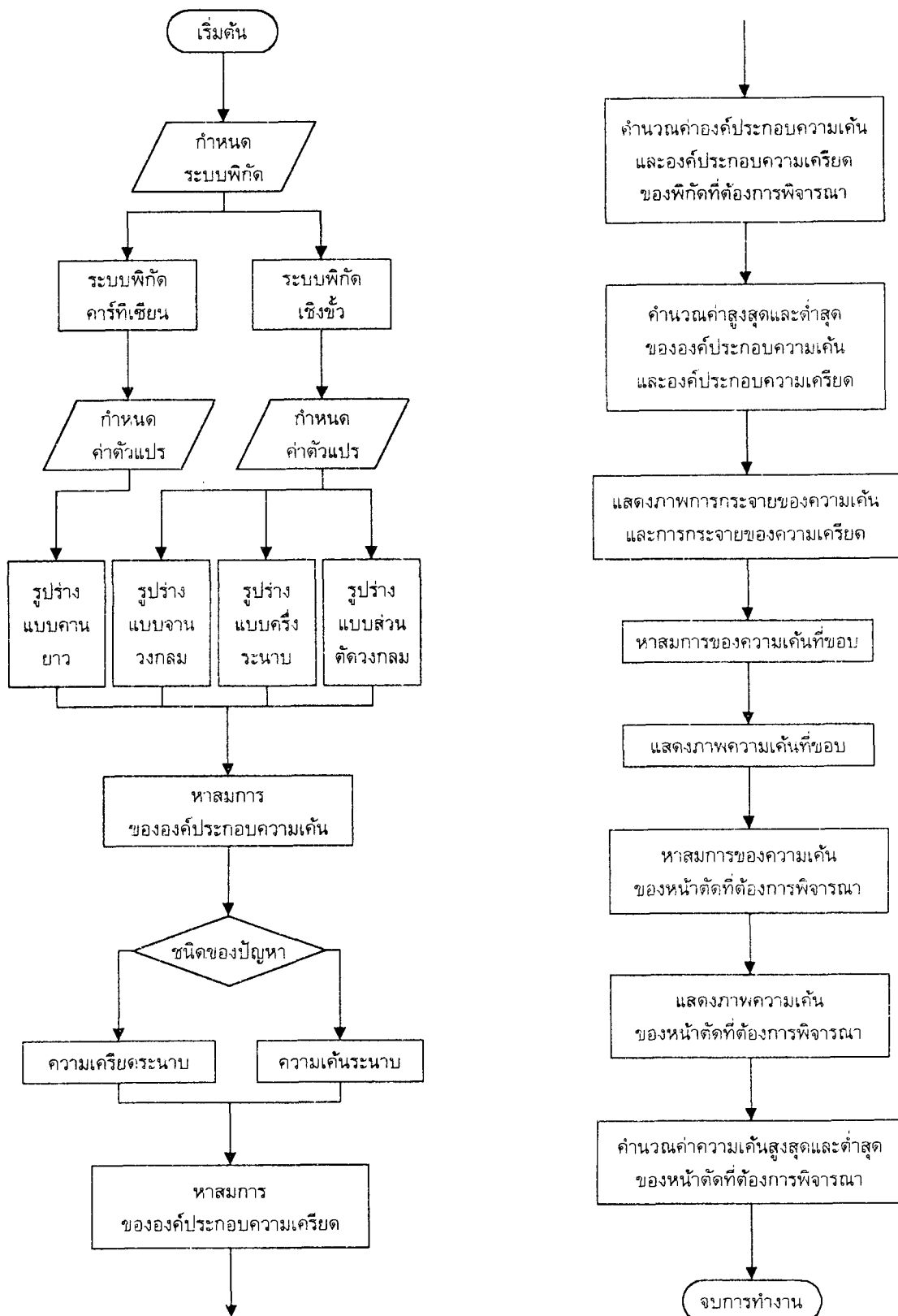
$$\sigma_{rr} = \frac{1}{r} \frac{\partial \Phi}{\partial r} + \frac{1}{r^2} \frac{\partial^2 \Phi}{\partial \theta^2}, \sigma_{\theta\theta} = \frac{\partial^2 \Phi}{\partial r^2}, \sigma_{rr} = -\frac{1}{r} \frac{\partial \Phi}{\partial r} \quad (9)$$

ได้สมการไบาร์โอมนิกในรูปของพิกัดเชิงข้าวดังนี้ [7]

$$\left(\frac{\partial^2}{\partial r^2} + \frac{1}{r} \frac{\partial}{\partial r} + \frac{1}{r^2} \frac{\partial^2}{\partial \theta^2} \right) \left(\frac{\partial^2 \Phi}{\partial r^2} + \frac{1}{r} \frac{\partial \Phi}{\partial r} + \frac{1}{r^2} \frac{\partial^2 \Phi}{\partial \theta^2} \right) = 0 \quad (10)$$

ฟังก์ชัน $\Phi(r, \theta)$ ที่เป็นค่าตอบของสมการไบาร์โอมนิกสามารถแสดงได้ในรูปของอนุกรมอนันต์ (Infinite Series) เมื่อ a, b, c, d และ a', b', c', d' เป็นค่าคงที่ดังนี้ [6]

$$\begin{aligned} \Phi = a_0 \ln r + b_0 r^2 + c_0 r^2 \ln r + d_0 r^2 \theta + a'_0 \theta + \\ \frac{a_1}{2} r \theta \sin \theta + (b_1 r^3 + a'_1 r^{-1} + b'_1 r \ln r) \cos \theta + \\ \frac{c_1}{2} r \theta \cos \theta + (d_1 r^3 + c'_1 r^{-1} + d'_1 r \ln r) \sin \theta + \\ \sum_{n=2}^{\infty} (a_n r^n + b_n r^{n+2} + a'_n r^{-n} + b'_n r^{-n+2}) \cos(n\theta) + \\ \sum_{n=2}^{\infty} (c_n r^n + d_n r^{n+2} + c'_n r^{-n} + d'_n r^{-n+2}) \sin(n\theta) \quad (11) \end{aligned}$$



รูปที่ 1 แผนภาพการทำงานของโปรแกรม

3. วิธีดำเนินการวิจัย

- 3.1 นำสมการของฟังก์ชันความเด่นที่อยู่ในรูปของฟังก์ชันพหุนามและอนุกรมฟูเรียร์ ซึ่งพิจารณาความหมายสมมติและความเป็นไปได้ทุก ๆ สมการมาเป็นฟังก์ชันความเด่นในสมการอนุพันธ์ควบคุมกลไก (Governing Differential Equation)
- 3.2 เขียนโปรแกรมลงในโปรแกรม Mathematica 3.0 ตามแผนภาพในรูปที่ 1

3.3 ทดสอบความถูกต้องของโปรแกรม โดยป้อนข้อมูลค่าคงที่ที่สอดคล้องกับเงื่อนไขที่ขอกลังในสมการของฟังก์ชันความเด่นสำหรับกรณีวัสดุยืดหยุ่นเชิงลับนรับภาระ ซึ่งสามารถหาค่าตอบได้ถูกต้องเป็นที่ยอมรับทั่วไปแล้ว เช่น ในกรณี

3.3.1 ในระบบพิกัดคาร์ทีเซียน

- คานยืน (Cantilever Beam) รับภาระแรงกดเป็นจุดกระทำที่ปลายคาน

- คานอ่อนง่าย (Simple Beam) รับภาระแรงกดที่ด้านบนของคาน โดยกระจายอย่างสม่ำเสมอตลอดความยาว

3.3.2 ในระบบพิกัดเชิงข้าว

- แผ่นจานวงกลม (Circular Disk) ที่มีรูอยู่ตรงกลาง รับความดันขนาดสม่ำเสมอกระจายตามขอบ

- แผ่นวัสดุความยาวไม่จำกัด (Infinite Large Plate) รูปสี่เหลี่ยม มีรูวงกลมขนาดเล็กอยู่ตรงกลาง รับแรงดึงอ่อนง่ายสม่ำเสมอที่ขอบ

3.4 แก้ไขโปรแกรมให้มีความถูกต้องสมบูรณ์ที่สุด และปรับปรุงให้ผู้ใช้โปรแกรมสามารถใช้งานได้ง่ายและรวดเร็ว

3.5 จัดทำคู่มือการใช้โปรแกรม

4. ผลและการวิเคราะห์

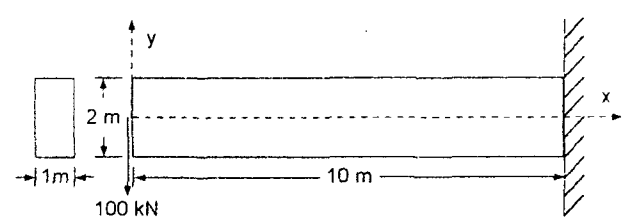
4.1 ผลการวิจัย

เมื่อเขียนโปรแกรมตามแผนภาพในรูปที่ 1 แล้ว จึงทำการทดสอบโปรแกรมดังแสดงตัวอย่างในหัวข้อ 4.2 โดยแสดงผลให้ดูเฉพาะในส่วนของการแสดงภาพการกระจายความเด่นเท่านั้น ทั้งนี้เพื่อตรวจสอบว่าสอดคล้องตามทฤษฎีหรือไม่ ลักษณะของภาพประกอบด้วย 3 ส่วนคือ ภาพการกระจายของ σ_{xx} , σ_{yy} และ τ_{xy} ในระบบพิกัดคาร์ทีเซียน และภาพการกระจายของ σ_{rr} , $\sigma_{\theta\theta}$ และ $\tau_{r\theta}$ ในระบบพิกัดเชิงข้าว โดยในแต่ละส่วนจะเป็นภาพพื้นผิว 3 มิติในระบบพิกัด (x,y,z) โดยแกน x และ y อยู่ในแนวระดับใช้แสดงพิกัดที่จุดใด ๆ ในเนื้อวัสดุมีหน่วยเป็นเมตร แกน z แสดงค่าขององค์ประกอบความเด่นที่จุดนั้น ๆ มีหน่วยเป็น MPa

4.2 การทดสอบโปรแกรม

ในการทดสอบจะกำหนดให้วัสดุที่ใช้เคราะห์มีค่าคงที่ดังต่อไปนี้ $E=200 \times 10^3$ MPa, $G=77 \times 10^3$ MPa, $\nu=0.3$

ตัวอย่างการทดสอบ : คานยืนยาว 10 m หน้าตัด 1×2 m รับภาระ 100 kN กระทำบนกันหน้าตัดที่ปลายคานตามรูปที่ 2 เมื่อพิจารณาเงื่อนไขที่ขอกลัง ด้านของคานได้สมการของฟังก์ชันความเด่น $\Phi = -75xy + 25xy^3$ kN



รูปที่ 2 การรับภาระของคานยืน

เงื่อนไขที่ด้านบนและด้านล่างของคาน

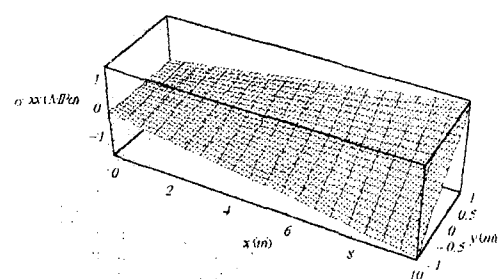
$$y=1m; \tau_{xy}=0, \sigma_{yy}=0$$

$$y=-1m; \tau_{xy}=0, \sigma_{yy}=0$$

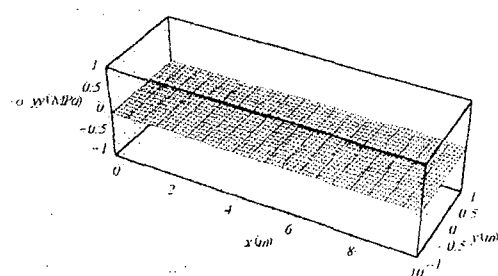
เงื่อนไขที่ปลายคานทั้งสองด้าน

$$x=0; \int \tau_{xy} dy = 100 \text{ kN}, \int \sigma_{xx} dy = 0, \int \sigma_{xx} y dy = 0$$

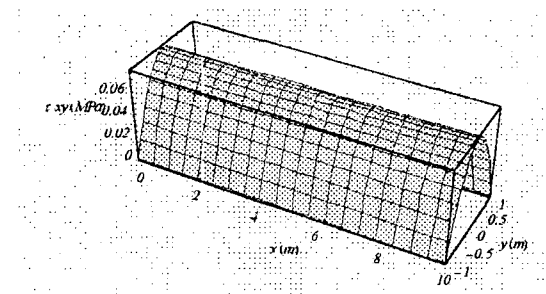
$$x=10m; \int \tau_{xy} dy = 100 \text{ kN}, \int \sigma_{xx} dy = 0, \int \sigma_{xx} y dy = 1000 \text{ kN}\cdot\text{m}$$



(ก) แสดงการกระจายความเด่นในแนวแกน x



(ข) แสดงการกระจายความเด่นในแนวแกน y



(ก) แสดงการกระจายความเดันในแนวนอน

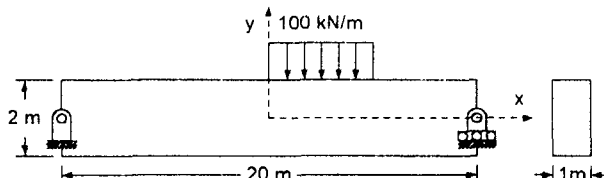
รูปที่ 3 ภาพการกระจายความเดันของรูปที่ 2

เมื่อป้อนข้อมูลลงในโปรแกรมจะได้ภาพการกระจายความเดันดังรูปที่ 3 ซึ่งแบ่งออกเป็น 3 ส่วน รูปที่ 3(ก) เป็นภาพการกระจายของ σ_{xy} ซึ่งมีค่าเป็นบวกเมื่อ $y>0$ และมีค่าเป็นลบเมื่อ $y<0$ โดยมีค่าสูงสุดที่ $x=10m$, $y=\pm 1m$ เท่ากับ ± 1 MPa และมีค่าเท่ากับศูนย์ที่ $x=0$ รูปที่ 3(ข) เป็นภาพการกระจายของ σ_{yy} ซึ่งมีค่าเท่ากับศูนย์ที่ทุก ๆ จุดในเนื้อวัสดุ และรูปที่ 3(ค) เป็นภาพการกระจายของ τ_{xy} ซึ่งมีค่าสม่ำเสมอตลอดความยาวของคาน โดยมีค่าสูงสุดที่ $y=0$ เท่ากับ 0.075 MPa และมีค่าเท่ากับศูนย์ที่ $y=\pm 1m$

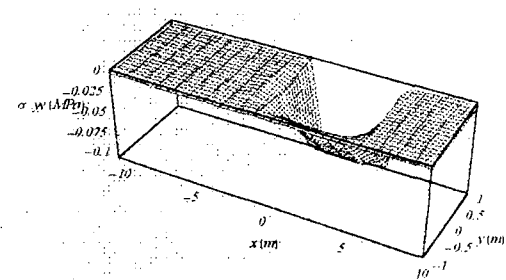
4.3 ตัวอย่างภาพความเดันจากการถืออื่น ๆ

ความสามารถในการรับแรงดันของวัสดุโดยรับภาระในรูปแบบใด ๆ ก็ได้เช่น

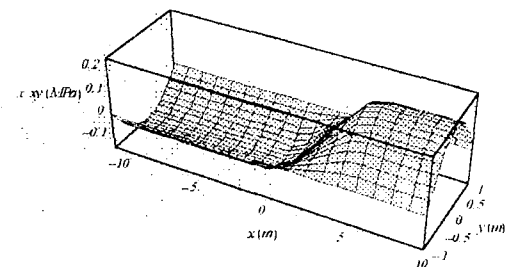
4.3.1 ตัวอย่างที่ 1 การรับภาระอย่างสม่ำเสมอขนาด 100 kN/m ที่ด้านบนของคานอย่างง่าย ในช่วง $0 \leq x \leq 5$ m



รูปที่ 4 การรับภาระของคานอย่างง่าย



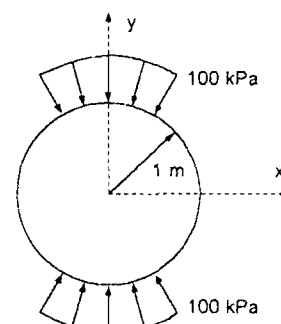
(ข) แสดงการกระจายความเดันในแนวแกน y



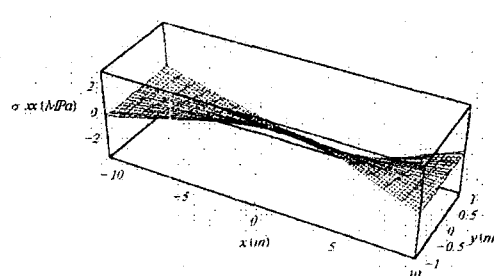
(ค) แสดงการกระจายความเดันในแนวนอน

รูปที่ 5 การกระจายความเดันของรูปที่ 4

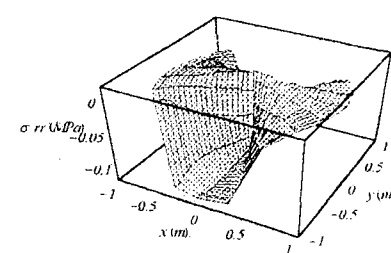
4.3.2 ตัวอย่างที่ 2 การรับแรงดันอย่างสม่ำเสมอขนาด 100 kPa กระทำที่ขอบของแผ่นจานวงกลมตัน ในช่วง $\pi/3 \leq \theta \leq 2\pi/3$ และ $4\pi/3 \leq \theta \leq 5\pi/3$



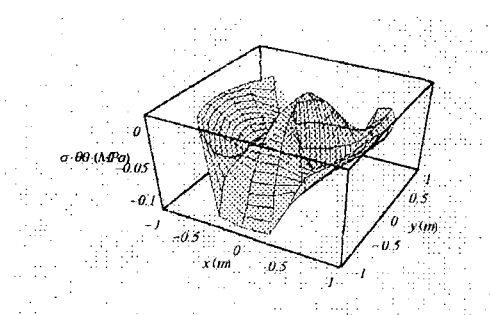
รูปที่ 6 การรับภาระของแผ่นจานวงกลม



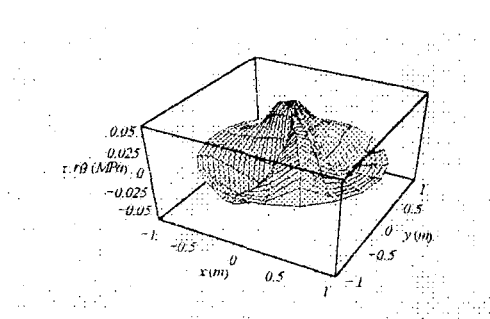
(ก) แสดงการกระจายความเดันในแนวแกน x



(ข) แสดงการกระจายความเดันในแนวแกน r



(ข) แสดงการกระจายความเค้นในแนวแกน θ



(ค) แสดงการกระจายความเค้นเฉื่อน

รูปที่ 7 การกระจายความเค้นของรูปที่ 6

5. สรุปและข้อเสนอแนะ

5.1 สรุป

5.1.1 จากการทดสอบของโปรแกรมกับปัญหาที่มีค่าตอบชัดเจนและเป็นที่ยอมรับโดยทั่วไปพบว่าสอดคล้องกับค่าที่คำนวณได้ตามทฤษฎี

5.1.2 การใช้ฟังก์ชันความเค้นที่อยู่ในรูปของฟังก์ชันพหุนาม ควรจะใช้จุดเดียวตัวอย่างที่ทำให้ค่าความเค้นที่คำนวณได้มีค่าไม่เปลี่ยนแปลงมากนักหรือเรียกว่าการสูญเสียสู่ค่าที่ถูกต้อง ซึ่งโปรแกรมจะทำการคำนวณค่าสัมประสิทธิ์ที่เหลือในสมการพหุนามของแต่ละระดับขั้น เพื่อให้สอดคล้องกับสมการไบอาร์โนนิก

5.1.3 โดยปกติในการทำงานของโปรแกรมแต่ละครั้ง จะใช้เวลาในการประมวลผลทั้งหมดไม่เกิน 5 วินาทีเมื่อใช้กับเครื่อง pentium III ความเร็ว 450 MHz หน่วยความจำ 64 MB ยกเว้นในกรณีที่สมการของฟังก์ชันความเค้นมีความซับซ้อนมาก ๆ หรืออยู่ในรูปของผลบวกที่มีเทอมของผลบวกมาก ๆ เวลาในการประมวลผลจะมีค่าเพิ่มขึ้น

5.1.4 ในกรณีที่ความเค้นและความเครียดที่มีค่าสูงสุดและต่ำสุดของวัสดุ เมื่อฟังก์ชันความเค้นอยู่ในรูปของอนุกรมพูเรียร์พบว่า ค่าความผิดพลาดมีค่าไม่เกิน $\pm 0.1\%$

5.2 ข้อเสนอแนะ

5.2.1 การวิเคราะห์ความเค้นและความเครียดโดยใช้ฟังก์ชันความเค้นนิดอื่น ๆ เป็นสิ่งที่นำเสนอในการศึกษาต่อไป

5.2.2 งานวิจัยนี้แสดงเฉพาะเงื่อนไขที่ขบวนแบบความเค้นเท่านั้นซึ่งยังไม่ครอบคลุมปัญหาทั้งหมด ดังนั้นจึงควรมีการพัฒนาโปรแกรมให้สามารถวิเคราะห์เงื่อนไขที่ขบวนแบบการเปลี่ยนตำแหน่งและแบบผสมเพื่อให้สามารถวิเคราะห์ปัญหาได้มากยิ่งขึ้น หรือพัฒนาโปรแกรมเพื่อใช้ในการวิเคราะห์ปัญหาเกี่ยวกับฟังก์ชันความเค้นในสามมิติ

6. เอกสารอ้างอิง

- [1] Kreyszig, E., 1993., Advanced Engineering Mathematics, 7th ed., John Wiley & Sons, New York.
- [2] Little, R. W., 1973., Elasticity, Prentice Hall, Englewood Cliffs, New Jersey.
- [3] Marsden, J. E., and Hughes, T. J. R., 1983., Mathematical Foundation of Elasticity, Prentice Hall, Englewood Cliffs, New Jersey.
- [4] Mase, G. E., 1970., Continuum Mechanic, McGraw-Hill, New York.
- [5] Saada, A. S., 1974., Elasticity, Pergamon, New York.
- [6] Timoshenko, S. P., and Goodier, J. N., 1970., Theory of Elasticity, 3rd ed., McGraw-Hill, New York.
- [7] Ugural, A. C., and Fenster, S. K., 1995., Advanced Strength and Applied Elasticty, 3rd ed., Prentice Hall, Englewood Cliffs, New Jersey.